

## un'altra correlazione importante

$$c(t) = -\ddot{b}(t) = -\frac{\langle A^*(0)\ddot{A}(t) \rangle}{\langle A^*(0)A(0) \rangle} = \frac{\langle \dot{A}^*(0)\dot{A}(t) \rangle}{\langle A^*(0)A(0) \rangle}$$

Spettro:

$$\begin{aligned} c(\omega) &= -\frac{1}{2\pi} \int_{-\infty}^{+\infty} dt e^{-i\omega t} \ddot{b}(t) = -\frac{1}{2\pi} \left[ \dot{b}(t) e^{-i\omega t} \right]_{-\infty}^{+\infty} + \frac{1}{2\pi} \int_{-\infty}^{+\infty} dt \dot{b}(t) (-i\omega) e^{-i\omega t} = \\ &= -\frac{i\omega}{2\pi} \left\{ \left[ b(t) e^{-i\omega t} \right]_{-\infty}^{+\infty} - \int_{-\infty}^{+\infty} dt b(t) (-i\omega) e^{-i\omega t} \right\} = -i^2 \omega^2 \frac{1}{2\pi} \int_{-\infty}^{+\infty} dt b(t) e^{-i\omega t} = \\ &= \omega^2 b(\omega) \end{aligned}$$

Differenziando direttamente  $b(t) = \sum_{k=1}^{\infty} I_k e^{z_k |t|}$  si ha:

$$c(t) = -\ddot{b}(t) = \sum_{k=1}^{\infty} (-I_k z_k^2) e^{z_k t}$$

$$c(\omega) = \sum_{k=1}^{\infty} \frac{1}{\pi} \operatorname{Re} \frac{(-I_k z_k^2)}{i\omega - z_k} = \omega^2 b(\omega) = \omega^2 \sum_{k=1}^{\infty} \frac{1}{\pi} \operatorname{Re} \frac{I_k}{i\omega - z_k}$$

## una relazione importante

$$c(\omega) = \sum_{k=1}^{\infty} \frac{1}{\pi} \operatorname{Re} \frac{(-I_k z_k^2)}{i\omega - z_k} = \omega^2 b(\omega) = \omega^2 \sum_{k=1}^{\infty} \frac{1}{\pi} \operatorname{Re} \frac{I_k}{i\omega - z_k}$$

Despite its simplicity, such a relation carries the important meaning that the autocorrelation function of a dynamical variable  $A(t)$  and that of its derivatives are characterized by the same time decays or complex frequencies, therefore describe essentially the same dynamics. The same generalized Lorentzians describe the spectra  $b(\omega)$  and  $c(\omega)$ , with only different amplitudes, where those of  $c(\omega)$  are readily obtained by multiplying the amplitudes of  $b(\omega)$  by the negative of the squared “generalized half-width”  $z_k$  (either real or complex).

While the multi-exponential expansion applies to any correlation function, and the corresponding multi-Lorentzian representation describes the respective spectrum, the result given above is of particular importance in those cases in which two physically meaningful autocorrelation functions are linked by a double time differentiation. A well-known example is the case of the intermediate scattering function  $F(Q, t)$ , and the longitudinal current autocorrelation  $C_L(Q, t)$

# Materia condensata (sistemi disordinati)

*Una funzione di autocorrelazione temporale MOLTO importante*

Una funzione di autocorrelazione cruciale in studi della materia condensata è la **funzione intermedia di scattering**:

$$F(\mathbf{Q}, t) = \int d\mathbf{r} e^{i\mathbf{Q}\cdot\mathbf{r}} G(\mathbf{r}, t) = \frac{1}{N} \langle \rho_{-\mathbf{Q}}(0) \rho_{\mathbf{Q}}(t) \rangle = \frac{1}{N} \sum_{\alpha, \beta} \langle e^{-i\mathbf{Q}\cdot\mathbf{R}_{\alpha}(0)} e^{i\mathbf{Q}\cdot\mathbf{R}_{\beta}(t)} \rangle$$

dove  $\rho_{\mathbf{Q}}(t) = \sum_{\beta=1}^N \int d\mathbf{r} e^{i\mathbf{Q}\cdot\mathbf{r}} \delta(\mathbf{r} - \mathbf{R}_{\beta}(t)) = \sum_{\beta=1}^N e^{i\mathbf{Q}\cdot\mathbf{R}_{\beta}(t)}$  è la componente di Fourier di vettore d'onda  $\mathbf{Q}$  della densità microscopica.

Lo spettro di questa funzione di autocorrelazione è il **fattore di struttura dinamico**:

$$S(\mathbf{Q}, \omega) = \frac{1}{2\pi} \int dt e^{-i\omega t} F(\mathbf{Q}, t)$$

La mode expansion (in esponenziali per  $F$ , o equivalentemente in Lorentziane per lo spettro  $S$ ) si applica ovviamente anche per questa autocorrelazione e relativo spettro.

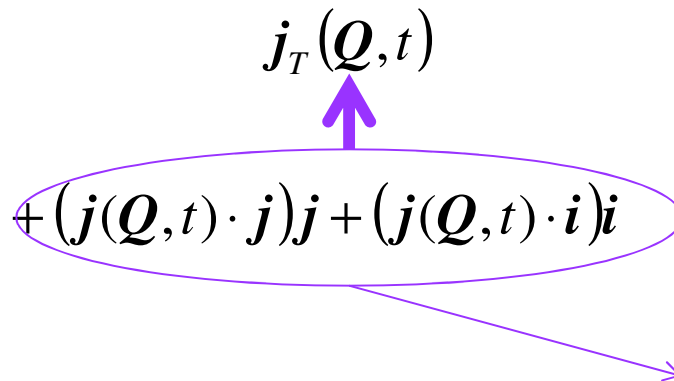
## La corrente

$$\mathbf{j}(\mathbf{r}, t) = \sum_{\alpha} \mathbf{v}_{\alpha}(t) \rho_{\alpha}(\mathbf{r}, t) = \sum_{\alpha} \mathbf{v}_{\alpha}(t) \delta(\mathbf{r} - \mathbf{R}_{\alpha}(t))$$

TRASFORMATA di Fourier (spaziale):

$$\begin{aligned} \mathbf{j}(\mathbf{Q}, t) &= \sum_{\alpha} \mathbf{v}_{\alpha}(t) \rho_{\alpha}(\mathbf{Q}, t) = \sum_{\alpha} \mathbf{v}_{\alpha}(t) e^{i\mathbf{Q} \cdot \mathbf{R}_{\alpha}(t)} = \\ &= \mathbf{j}_L(\mathbf{Q}, t) + \mathbf{j}_T(\mathbf{Q}, t) = (\mathbf{j}(\mathbf{Q}, t) \cdot \hat{\mathbf{Q}}) \hat{\mathbf{Q}} + \mathbf{j}_T(\mathbf{Q}, t) \end{aligned}$$

Assumiamo  $\hat{\mathbf{Q}} = \mathbf{k}$ , versore asse  $z$ .

$$\mathbf{j}(\mathbf{Q}, t) = \mathbf{j}_L(\mathbf{Q}, t) + \mathbf{j}_T(\mathbf{Q}, t) = (\mathbf{j}(\mathbf{Q}, t) \cdot \mathbf{k}) \mathbf{k} + (\mathbf{j}(\mathbf{Q}, t) \cdot \mathbf{j}) \mathbf{j} + (\mathbf{j}(\mathbf{Q}, t) \cdot \mathbf{i}) \mathbf{i}$$


Per l'isotropia di un fluido:

$$\mathbf{j}(\mathbf{Q}, t) = \mathbf{j}_L(\mathbf{Q}, t) + \mathbf{j}_T(\mathbf{Q}, t) = (\mathbf{j}(\mathbf{Q}, t) \cdot \mathbf{k}) \mathbf{k} + 2(\mathbf{j}(\mathbf{Q}, t) \cdot \mathbf{i}) \mathbf{i} = j_z(\mathbf{Q}, t) \mathbf{k} + 2j_x(\mathbf{Q}, t) \mathbf{i}$$

# L'autocorrelazione delle componenti della corrente

Longitudinal current-current correlation function:

$$C_L(\mathbf{Q}, t) = \frac{1}{N} \langle j_L^*(\mathbf{Q}, 0) j_L(\mathbf{Q}, t) \rangle = \frac{1}{N} \langle j_z^*(\mathbf{Q}, 0) j_z(\mathbf{Q}, t) \rangle$$

Transverse current-current correlation function:

$$C_T(\mathbf{Q}, t) = \frac{1}{2N} \langle j_T^*(\mathbf{Q}, 0) j_T(\mathbf{Q}, t) \rangle = \frac{1}{N} \langle j_x^*(\mathbf{Q}, 0) j_x(\mathbf{Q}, t) \rangle$$

La corrente longitudinale **non porta** in realtà **nuova informazione** sulla dinamica collettiva, rispetto a quanto fornito dalla funzione intermedia di scattering e dal suo spettro. Infatti:

$$\left[ \begin{array}{l} F(\mathbf{Q}, t) = \frac{1}{N} \langle \rho^*(\mathbf{Q}, 0) \rho(\mathbf{Q}, t) \rangle \\ \dot{F}(\mathbf{Q}, t) = \frac{1}{N} \langle \rho^*(\mathbf{Q}, 0) \dot{\rho}(\mathbf{Q}, t) \rangle \\ \ddot{F}(\mathbf{Q}, t) = \frac{1}{N} \langle \rho^*(\mathbf{Q}, 0) \ddot{\rho}(\mathbf{Q}, t) \rangle = -\frac{1}{N} \langle \dot{\rho}^*(\mathbf{Q}, 0) \dot{\rho}(\mathbf{Q}, t) \rangle \end{array} \right.$$

ma

$$\begin{aligned} \dot{\rho}(\mathbf{Q}, t) &= \frac{d}{dt} \left( \sum_{\alpha} e^{i\mathbf{Qk} \cdot \mathbf{R}_{\alpha}(t)} \right) = \\ &= i\mathbf{Qk} \cdot \sum_{\alpha} e^{i\mathbf{Qk} \cdot \mathbf{R}_{\alpha}(t)} \mathbf{v}_{\alpha}(t) = i\mathbf{Qk} \cdot \mathbf{j}(\mathbf{Q}, t) = \\ &= iQ j_L(\mathbf{Q}, t) \end{aligned}$$

# Componente longitudinale

$$\ddot{F}(\mathbf{Q}, t) = -\frac{1}{N} \langle \dot{\rho}^*(\mathbf{Q}, 0) \dot{\rho}(\mathbf{Q}, t) \rangle = -\frac{1}{N} \langle -iQ j_L^*(\mathbf{Q}, 0) iQ j_L(\mathbf{Q}, t) \rangle =$$

$$= -\frac{Q^2}{N} \langle j_L^*(\mathbf{Q}, 0) j_L(\mathbf{Q}, t) \rangle \Rightarrow$$

$$C_L(\mathbf{Q}, t) = -\frac{\ddot{F}(\mathbf{Q}, t)}{Q^2}$$



$$C_L(\mathbf{Q}, \omega) = -\frac{1}{2\pi Q^2} \int_{-\infty}^{+\infty} dt e^{-i\omega t} \ddot{F}(\mathbf{Q}, t) = -\frac{(i\omega)^2}{Q^2} \frac{1}{2\pi} \int_{-\infty}^{+\infty} dt e^{-i\omega t} F(\mathbf{Q}, t) = \frac{\omega^2}{Q^2} S(\mathbf{Q}, \omega)$$

E' solo un caso particolare della relazione generale già trovata, i.e.:

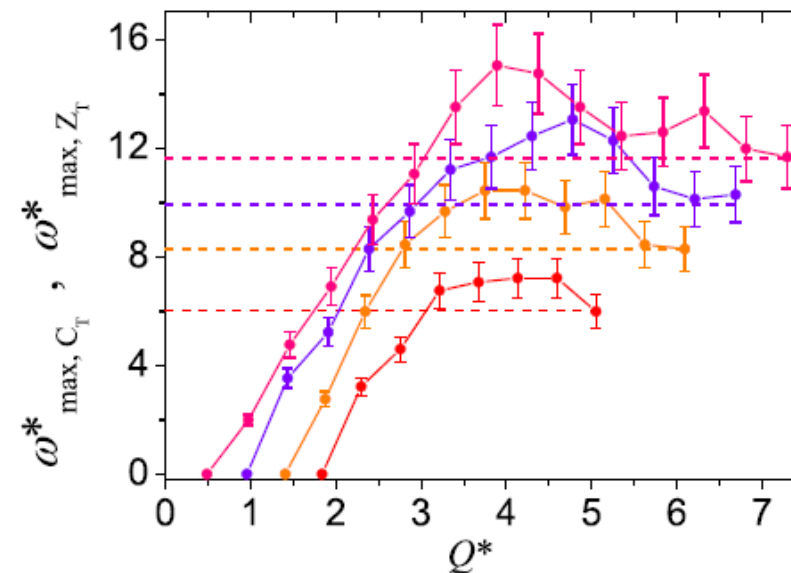
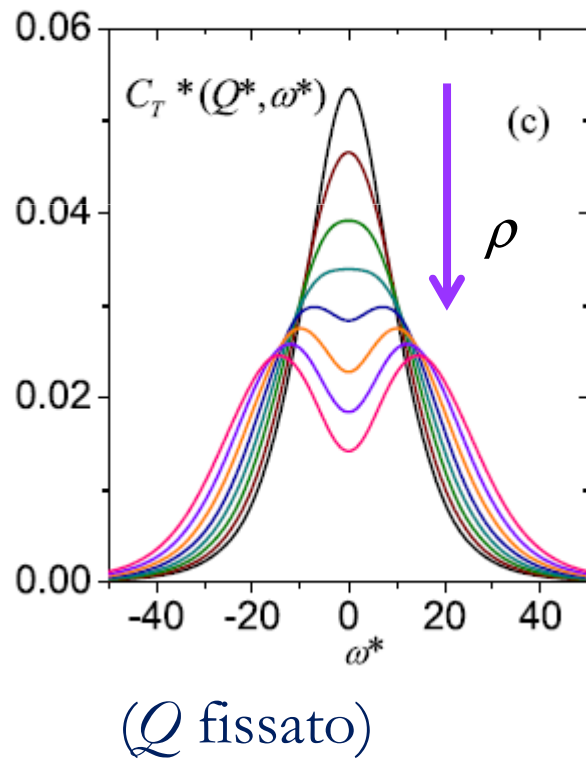
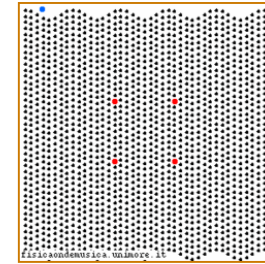
$$\left( \begin{array}{l} c(t) = -\ddot{b}(t) \\ c(\omega) = \omega^2 b(\omega) \end{array} \right)$$

$$c(t) = -\ddot{b}(t) = \sum_{k=1}^{\infty} (-I_k z_k^2) e^{z_k t}$$

$$c(\omega) = \sum_{k=1}^{\infty} \frac{1}{\pi} \operatorname{Re} \frac{(-I_k z_k^2)}{i\omega - z_k} = \omega^2 b(\omega) = \omega^2 \sum_{k=1}^{\infty} \frac{1}{\pi} \operatorname{Re} \frac{I_k}{i\omega - z_k}$$

# Componente trasversa

Diversamente dalla componente longitudinale, la correlazione della corrente trasversa non è accoppiata con le fluttuazioni di densità, pertanto fornisce informazioni su altre proprietà dinamiche del liquido. In particolare, sonda i modi di shear che possono propagarsi nel fluido.



# La frazione continua

Anche se è piuttosto complicato, è possibile mostrare che la teoria permette di scrivere una relazione di ricorrenza del tipo

$$a_{\nu-1}(z) = za_{\nu}(z) + \Delta_{\nu+1}a_{\nu+1}(z) \quad \nu \geq 0 \quad a_{-1}(z) = 1$$

dove  $a_0$  è proprio la funzione di autocorrelazione di partenza  $b(t)$ . Questo stabilisce una gerarchia di equazioni per gli  $a_{\nu}$

$$\frac{a_{\nu}(z)}{a_{\nu-1}(z)} = \frac{1}{z + \frac{\Delta_{\nu+1}a_{\nu+1}(z)}{a_{\nu}(z)}}$$

che per  $\nu = 0$  permette di scrivere la trasformata di Laplace della autocorrelazione di interesse nella forma

$$b(z) \equiv a_0(z) = \frac{1}{z + \frac{\Delta_1 a_1(z)}{a_0(z)}}$$

esprimibile anche con una **frazione continua** del tipo:

$$b(z) \equiv a_0(z) = \frac{1}{z + \frac{\Delta_1}{z + \frac{\Delta_2}{z + \dots + \frac{\Delta_{\nu-1}}{z + \Delta_{\nu} \left( \frac{a_{\nu}(z)}{a_{\nu-1}(z)} \right)}}$$

La descrizione di spettri sperimentali di funzioni di correlazione non può prevedere infiniti modi, ovviamente e si rende necessario un troncamento della frazione continua ad un qualche livello. A seconda del troncamento si ottengono modelli diversi.



# La frazione continua per $F$

$$\frac{\tilde{F}(z)}{F(0)} = \frac{1}{z + \frac{\Delta_1}{z + \frac{\Delta_2}{z + \dots + \frac{\Delta_{\nu-1}}{z + \tilde{M}_\nu(z)}}}}$$

$\Delta_{\nu-1} = M_{\nu-1}(0)$

$$M^{(1)}(0) = \langle \omega^2 \rangle$$

$$M^{(2)}(0) = \left( \frac{\langle \omega^4 \rangle}{\langle \omega^2 \rangle} \right) - \langle \omega^2 \rangle = \omega_L^2 - \langle \omega^2 \rangle$$

$$M^{(3)}(0) = \frac{\left( \frac{\langle \omega^6 \rangle}{\langle \omega^2 \rangle} \right) - (\omega_L^2)^2}{\omega_L^2 - \langle \omega^2 \rangle}$$

supponiamo di porre  $\tilde{M}_\nu(z) = A_\nu$   
 con  $A_\nu$  costante positiva. Ciò equivale a

$$M_\nu(t) = 2A_\nu \delta(t)$$

L'introduzione di una funzione di memoria a forma di delta di Dirac corrisponde in effetti a supporre assenza di memoria a quel livello e ciò porta a troncature la gerarchia delle equazioni differenziali e al corrispondente troncamento della frazione continua. A questo punto, a seconda del livello a cui si fa il troncamento, si introducono approssimazioni diverse, e, nello spirito di una frazione continua, si può supporre che l'approssimazione sia tanto migliore quanto più "ritardato" è il troncamento.

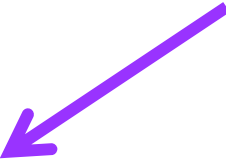
# Troncamenti efficaci

Troncamenti al livello  $\nu=2$

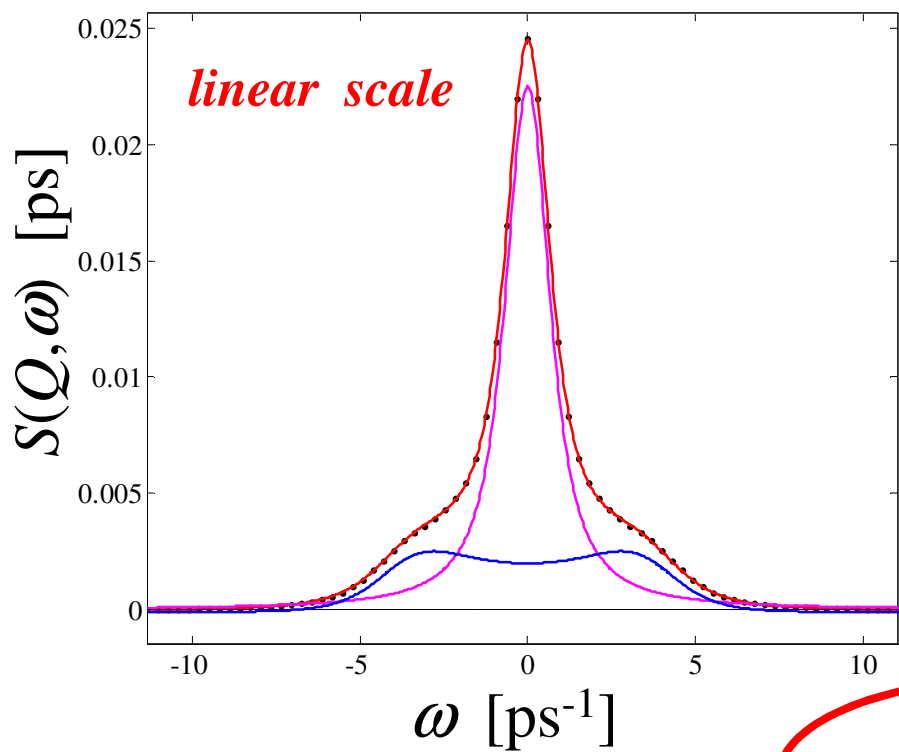
$$\tilde{M}_2(z) = A_2 + \frac{B_2}{z + C_2} \quad \text{corrisponde a} \quad M_2(t) = 2A_2\delta(t) + B_2 \exp(-C_2 t) \quad \text{Tripletto RB}$$

$$\tilde{M}_2(z) = \frac{B_2}{z + C_2} + \frac{B'_2}{z + C'_2} \quad \text{corrisponde a} \quad M_2(t) = B_2 \exp(-C_2 t) + B'_2 \exp(-C'_2 t)$$

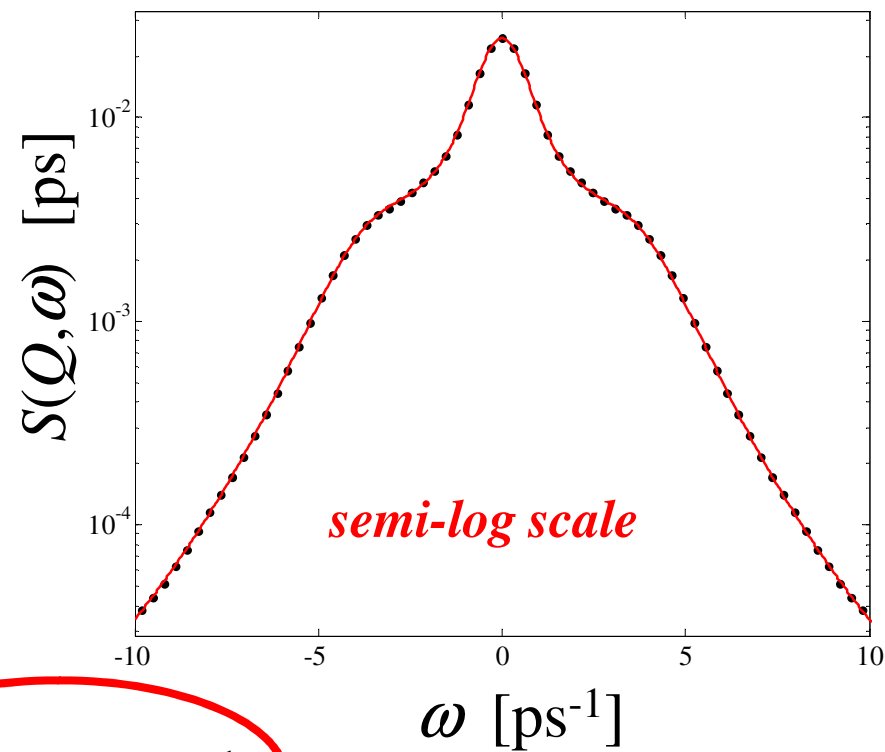
Modello viscoelastico

$$\frac{\tilde{F}(z)}{F(0)} = \frac{1}{z + \frac{\langle \omega^2 \rangle}{z + \tilde{M}_2(z)}} = \sum_{k=1}^4 \frac{I_k}{z - z_k}$$


*Fit and its components*



*MD data and global fit*



$Q = 3 \text{ nm}^{-1}$

2 Real modes + 2 Complex modes (1 CC pair)

# L'importanza di guardare più correlazioni

